基于区块链技术的网络信息安全访问控制方法

张 铠¹ 黄 晋¹ 汪 希¹ ZHANG Kai HUANG Jin WANG Xi

摘要

网络信息种类繁多、信息量庞大,传统访问控制方法仅关注单一系统或平台内的信息安全,忽视跨链信息访问控制。这导致攻击者可能利用跨链漏洞进行非法访问和数据窃取,严重威胁信息安全。为此,提出一种基于区块链技术的网络信息安全访问控制方法。通过区块链平台收集公共和私人事件参数、随机参数以及属性集,为访问控制提供数据基础。根据用户身份编号在属性中心验证身份,并将私有密钥转换为公有密钥,确保只有授权用户可访问特定信息。信息拥有者可设定访问策略,加密解密存储地址。采用特定的访问地址控制方法确保访问的安全性。对于多区块链信息间的访问,通过提取和验证多区块链间的共识点身份信息,确保访问请求的有效性和安全性。实验结果表明,所提方法的访问控制精准度高、空间消耗低,具有较高的实用价值。

关键词

区块链技术: 网络信息: 安全访问控制: 密钥准备: 授权中心

doi: 10.3969/j.issn.1672-9528.2024.09.045

0 引言

随着计算机网络技术的广泛普及和应用,信息系统成为 支撑社会运转的重要基础设施,但同时也面临着来自黑客、病毒、木马等网络攻击者的严重威胁。这些攻击可能导致信息泄露、系统崩溃等严重后果,对个人、企业乃至国家安全构成极 大威胁。因此,研究网络信息安全访问控制方法,旨在通过明确和限制用户对系统资源的访问操作,有效保护信息资源的机密性和完整性,成为当前网络安全领域的重要课题。

现阶段,研究人员不断探索新的访问控制技术和策略,以应对各种潜在的网络安全风险。文献 [1] 计算用户的访问频率,提取最高频率访问信息的特征值,通过双向映射使得用户减少对访问服务商的信任依赖,重新计算不同信息的储存开销并对泄露风险最大点进行加密,实现访问控制。这种控制方法虽然在一定程度上提高了信息安全性,但由于缺乏对跨链信息访问控制的有效机制,泄露风险最大点的加密可能不足以应对来自多个区块链的潜在威胁。攻击者可能通过多个途径尝试突破这些加密点,进而窃取敏感数据。文献 [2] 提出了一种以 ABAC 模型为基础的访问控制方法,对区块进行形式化定义,划分场景并给出标签含义,建立访问规则库针对每一个访问用户在规则库中进行查找,完成域与域之间的访问控制。在该方法中,传统的 ABAC 模型主要关注单一

系统或平台内的属性匹配和访问决策,对于跨链信息的访问 控制可能不够精确。文献 [3] 提出了一种增强 NEDAC-MACS 安全性方案,用于抵抗攻击,通过形式密码分析和性能分析 表明,该方法能够保证前向安全性和后向安全性,与云存储 环境相比,跨链信息访问控制需要更复杂的策略和机制来确 保数据的安全性和隐私性。

由于缺乏对跨链信息访问控制的有效机制,跨链传输的信息可能面临更高的泄露风险。攻击者可能利用跨链信息交互的漏洞,窃取或篡改跨链数据。文献 [4] 引入密钥生成中心概念,提出信息访问控制协议,该协议具有可操作性,但是同样存在访问控制误差较大的问题。

针对上述方法存在的弊端,本文提出了一种基于区块链技术的网络信息安全访问控制方法,该方法专注于跨链环境下的信息安全性。该方法首先基于用户在不同区块链下的行为特征,对区块链平台参数、信息拥有者以及信息访问者进行细致的访问参数准备。在此基础上,通过创新性地提取和验证多区块链间的共识点身份信息,不仅显著提升了访问控制的精准度,还极大地增强了系统的安全性和可靠性。

这种跨链访问控制的方法不仅克服了传统访问控制策略 在跨链环境中的局限性,而且为未来的网络信息安全领域提 供了新的思路和解决方案。

1 网络信息安全访问准备

在访问控制前,对网络信息的安全访问进行参数准备。

^{1.} 成都工贸职业技术学院 四川成都 611730

区块链技术的去中心化特性避免了单点故障和数据篡改的风 险,提高了系统的稳定性和安全性。针对区块链中不同区域 信息的特性,通过密钥管理和访问控制策略,可以实现对网 络信息的精准控制,防止未经授权的访问和数据泄露。

(1) 区块链平台的参数准备

采用区块链平台搭载的生成机制获取 (G, G_r, g, e) 。其 中,G、 G_T 表示公共事件、私人事件 [5] 存储参数; g表示调 用参数; e 表示随机参数。同时, 获取属性集 $\{A, \overline{A}, t\}$ 。其中, A_i 、 \overline{A}_i 表示属性分量; t表示时间。 $\{G, G_T, g, e\}$ 在区块链中 以公共事件进行存储; {4, 4, 4, t} 在区块链中以隐私属性事件 讲行存储。

对区块链中所有属性信息进行初始计算,采用循环群[6-7] 计算公钥参数。计算 A_i 、 \bar{A} 的值可为访问者提供信息属性相 关密钥,并构造相关用户参数,为访问控制判决做准备。

(2) 信息拥有者访问的参数准备

用公式(1)表示区块链中发布者参数:

$$P = \left\{ X, \overline{X}, Y, \overline{Y}, Z_1, \overline{Z}_1, Z_2, \overline{Z}_2 \right\} \tag{1}$$

式中: $\{X, \overline{X}, Y, \overline{Y}, Z_1, \overline{Z}_1, Z_2, \overline{Z}_2\}$ 表示区块链中信息拥有者参 数,可帮助建立访问者密钥,实现精准访问控制判决。其中, X, \bar{X} 、 Y, \bar{Y} 、 Z_1, \bar{Z}_1 、 Z_2, \bar{Z}_2 ,可通过上述过程求得的区块链 公共参数以及循环群求解得到。 $X.\bar{X}$ 、 $Y.\bar{Y}$ 可描述信息拥 有者在区块链中的密文参数; $Z_1, \overline{Z}_1, Z_2, \overline{Z}_3$ 可描述信息访问 者在区块链中的密文参数。信息拥有者参数准备可避免在安 全访问加密过程中信息对权威中心[8-10]的过度依赖,保证每 一次访问密钥都安全可用,实现信息隐藏策略下的安全访问 控制判定。

考虑到网络信息的种类较多、基数较大,可能存在信息 离散问题[11],需要信息拥有者在进行加密后再传输,并在信 息对应的区块链中标记该信息的加密信息, 保证安全访问控 制的完整性,加密信息构成的表达式为:

$$D_{u} = \{A_{d}, H_{v}, T_{u}, C, P\}$$
 (2)

式中: A_d 表示信息加密地址 [12]; H_v 表示加密尺度; C表示 泄露风险; T. 表示信息拥有者的访问属性集合, 其中包含多 种信息属性,如无关属性、隐私属性[13-14]、公开属性以及真 实属性等。

(3) 信息访问者的参数准备

$$R_k = \left\{ D_0, \overline{D}_0, D_u, \left\{ D_i \right\}_{1 \le i \le k} \right\} \tag{3}$$

式中: D_0 表示信息访问者密钥属性集; \bar{D}_0 表示解密属性集; D, 表示全部属性集。信息访问者通过区块链平台中发布的 密文以及信息拥有者的密文构建安全访问密钥属性集。T. 中不包含全部属性集,因此针对信息访问者进行安全控制

时,需要求得更多的 T_u ,构建隐私密钥,以提高网络信息 的保护能力。

2 网络信息安全访问控制实现

在进行了对区块链平台、信息拥有者以及信息访问者的 参数准备后,成功获得了不同区块链信息的访问特征和访问 权限。基于这些关键信息,本文特别强调了针对多区块链信 息访问场景时,基于共识点身份信息验证的重要性。通过精 确提取并严格验证多区块链间的共识点身份信息,能够确保 每个访问请求的有效性和安全性。每当有新的访问请求产生 时,系统都会生成新的区块并将其添加到原始区块链中,以 进行更进一步的访问控制验证,从而保障整个信息交换过程 的安全性和可靠性。安全访问控制具体实现步骤如下。

在用户注册阶段[15],用户访问需要向授权中心发送申请, 在得到申请认证后,根据其身份编号给出密钥,然后根据身 份编号在属性中心对访问者的身份进行核对,并将私有密钥 转换为公有密钥。

输入用户身份 и,, 在信息访问者集合中查找与用户身份 相关的属性值,密钥转换身份核对表达式为:

$$S_{u_i} = \left(B_{1,i} = l_i h_{u_i}, B_{2,i} = l_2 h_{u_i}, ..., B_{x,i} = l_z h_{u_i} \quad x \in S\right) \tag{4}$$

$$K_{u} = (K_{1,i} = B_{1,i}R_{sk}, K_{2,i} = B_{2,i}R_{sk}, ..., K_{x,i} = B_{x,i}R_{sk}, x \in S)$$
 (5)

式中: $B_{x,i}$ 表示用户属性标签; l_1, l_2, \dots, l_n 表示访问序列; h_u 表示用户身份参数;S表示属性集合;x表示用户信息; K_u 表示与用户属性相对应的转换私有密钥; R_{sk} 表示用户身份密 钥。

在信息授权阶段, 信息拥有者需要对被访问信息进行加 密并储存在本地数据库中,设置访问策略并对存储地址进行 加密解密。设置 IP 地址函数为 $\zeta(x)$, 生成访问地址控制解密

$$W = \left(B_{x,i} \times \zeta \left(W_{1,x} + W_{2,x} + W_{3,x}\right)\right) \tag{6}$$

式中: $W_{1,x}$ 表示标签地址的访问控制密钥; $W_{2,x}$ 表示属性地 址的访问控制密钥; W3.x 表示关键词地址的访问控制密钥。

针对多区块链间的访问, 需以共识点为基础, 确保数据 一致性和安全性。共识点身份信息是建立信任的关键,包括 区块链唯一标识符、共识算法详情和节点列表。提取并验证 这些信息,能确保区块链的真实可靠性。验证过程需严谨, 包括信息完整性核对和安全哈希值比对。验证通过后, 可建 立安全通道,实现跨链数据传输和操作。新访问请求产生时, 系统将生成新区块并加入原始链中, 包含访问摘要和存储地 址。基于这些信息,系统将进行访问控制验证,确保访问的 安全性和合规性。多区块链架构如图 1 所示。

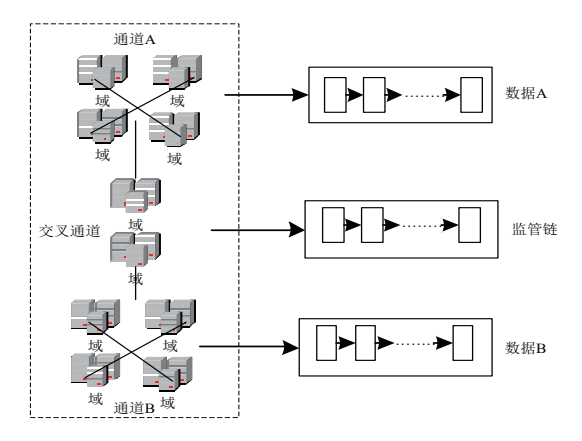


图1多链架构示意图

安全访问控制流程如图 2 所示。

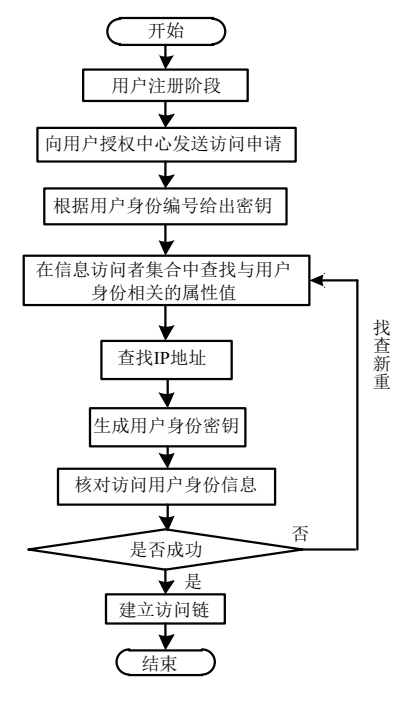


图 2 网络信息安全访问控制流程

3 实验验证分析

3.1 实验环境

实验样本与参数信息如表1所示。

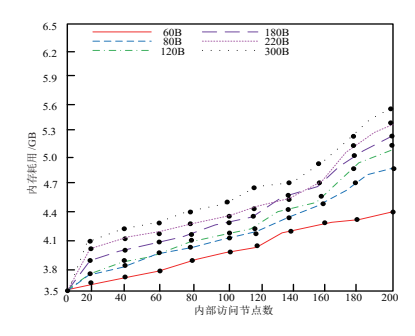
表 1 实验样本和硬件参数

| 名称 | 参数 / 特征 |
|----------|------------------|
| 开发语言 | Java |
| 下载文件最低速率 | 100 ms |
| 访问节点数量 | 200 个 |
| 系统 | Ubuntu 16.04 LTS |
| 吞吐量 | 50 bit/s |
| 区块链数量 | 500 |
| 文件属性数量 | 0~2000 |
| 溯源地址 | 初始端 IP |
| 抗攻击性 | 强 |

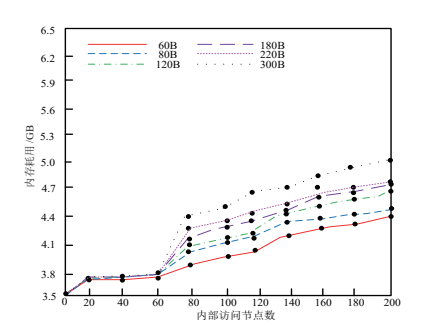
为验证文中提出的基于区块链技术的网络信息安全访问 控制方法的有效性,进行实验验证。网络信息中涉及的用户 种类较多、信息庞大可满足实验测试条件,访问文件的大小 选择为60B、80B、120B、180B、220B以及300B。

3.2 内存耗用结果对比分析

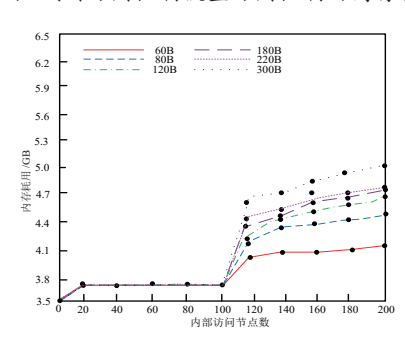
网络信息之间的差异性、种类较多,安全访问控制树的 结构会根据信息种类变化而越来越复杂,增加信息拥有者的 加密负担。因此,实验将针对不同大小的访问信息,测试不 同控制方法运行所产生的空间占用。与策略隐藏大数据访问 控制、域间访问控制模型进行对比分析,得到实验对比结果 如图3所示。



(a) 策略隐藏大数据方法访问控制的内存耗用



(b) 域间访问控制模型访问控制的内存耗用



(c) 所提方法访问控制的内存耗用

图 3 不同控制方法的运行内存耗用对比结果

从图 3 的展示可以看出, 3 种不同方法对于内存耗用的 结果存在显著差异。其中, 所提出的方法在内存耗用方面表 现最优, 其内存耗用明显低于其他两种方法。这一结果充分 证明了所提访问控制方法在实际应用中的有效性。该方法之 所以能够实现较低的内存耗用,关键在于它无需进行二次或 多次验证,从而避免了不必要的系统运行空间浪费。在传统的访问控制机制中,为了确保数据的安全性和完整性,可能需要对用户进行多次的身份验证和权限检查,这无疑增加了系统的运行负担和内存耗用。而所提方法通过精准地提取和验证多区块链间的共识点身份信息,实现了高效的访问控制,从而显著降低了内存耗用。

3.3 控制误差结果对比分析

对于多区块链信息间的访问控制,控制误差是评估不同 方法性能的关键指标之一。该指标能够量化实际访问控制结 果与期望结果之间的差异。当控制误差较小时,意味着该方 法在验证用户身份和授权方面具有较高的准确性和可靠性, 从而有效保障了多区块链信息的安全性和合规性。测试三种 方法的控制误差,得到实验对比曲线如图 4 所示。

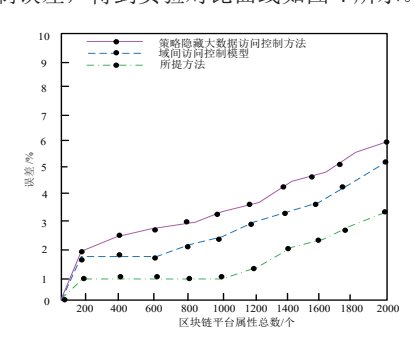


图 4 三种方法访问控制误差对比曲线

从图 4 中可以看出,随着访问验证数据量的不断增长,3 种网络信息安全访问控制方法的误差都呈现出一定程度的上升趋势。相比之下,所提方法的误差上升幅度明显小于其他两种方法,这充分说明了该方法在保障多区块链网络信息安全性方面的有效性。这一结果不仅证明了所提方法具有较高的实用价值,也展示了其在处理多区块链数据访问验证时的稳定性和可靠性。所提方法的优势在于访问控制和验证机制的设计。通过提取和验证多区块链间的共识点身份信息,实现了对访问请求的精准控制,从而降低了误报和漏报的可能性。这一步骤直接决定了访问控制的准确性和效率。

4 结论

针对跨链信息访问控制的挑战,本方法通过提取和验证 多区块链间的共识点身份信息,有效确保了访问请求的有效 性和安全性,从而弥补了传统访问控制方法在处理跨链信息 时的不足。这种信息验证机制能够预先识别和匹配访问者和 被访问者之间的关联信息,并据此计算出匹配的密钥值,为 后续的访问控制提供了精确可靠的指令依据。考虑到网络信息复杂多变,本方法通过多个步骤的关联和验证,确保了整 个访问过程的逻辑性和安全性。实验结果表明,所提访问控 制方法不仅在内存耗用和误差控制方面表现出色,而且在实 际应用中展现出较强的性能,为网络信息安全提供了强有力 的保障。

参考文献:

- [1] 林莉,储振兴,刘子萌,等.基于区块链的策略隐藏大数据 访问控制方法[J].自动化学报,2023,49(5):1031-1049.
- [2] 张建标, 张兆乾, 徐万山, 等. 一种基于区块链的域间访问 控制模型 [J]. 软件学报, 2021, 32(5):1547-1564.
- [3] 张亚兵,王健,邢镔.工业互联网中增强安全的云存储数据访问控制方案[J]. 计算机应用研究,2021,38(12):3765-3770.
- [4] 王杰昌, 张平, 常琳林, 等. 可证明安全的用户云数据访问 控制协议[J]. 计算机工程与设计, 2022, 43(6):1527-1533.
- [5] 罗鸿轩,金鑫,钱斌,等.基于区块链的台区智能终端与智能电表安全防护方法[J].南方电网技术,2021,15(4):50-58.
- [6] 刘雪娇,殷一丹,陈蔚,等.基于区块链的车联网数据安全 共享方案[J].浙江大学学报(工学版),2021,55(5):957-965.
- [7] 曾辉祥, 习宁, 谢晴晴, 等. 抗属性篡改的去中心化密文数据安全共享[J]. 西安电子科技大学学报, 2022, 49(2):135-145.
- [8] 王高洲, 王惠剑, 王聪, 等. 基于 SM2 密码算法的电力数据安全接入方法 [J]. 南京理工大学学报, 2022, 46(6):749-755.
- [9] 吴万青,赵永新,王巧,等.一种满足差分隐私的轨迹数据 安全存储和发布方法 [J]. 计算机研究与发展,2021,58(11): 2430-2443.
- [10] 冯涛, 陈李秋, 方君丽, 等. 基于本地化差分隐私和属性基可搜索加密的区块链数据共享方案 [J]. 通信学报, 2023, 44(5): 224-233.
- [11] 彭柳,张淼,高杰欣.基于区块链技术的电子档案安全存储与可信验证方案[J].中南民族大学学报(自然科学版), 2022, 41(6): 728-733.
- [12] 孙僖泽,周福才,李宇溪,等.基于可搜索加密机制的数据库加密方案[J]. 计算机学报,2021,44(4):806-819.
- [13] 李满礼, 倪明, 颜云松, 等. 面向恶意攻击的安全稳定控制系统信息物理协调防御方法 [J]. 电力系统自动化, 2021, 45(18): 113-121.
- [14] 赖业宁, 封科, 于同伟, 等. 基于 DHT 和区块链技术的 电网安全稳定控制终端分布式认证 [J]. 中国电力, 2022, 55(4): 44-53.
- [15] 刘玉红,杨亮,朴春慧,等.基于区块链的铁路工程施工安全监测数据共享关键技术研究[J].通信学报,2021,42(8):206-216.

【作者简介】

张铠(1984—), 男, 重庆人, 硕士, 讲师, 研究方向: 物联网应用技术。

(收稿日期: 2024-06-06)